

بررسی ناپایداری نانوایرک ساخته شده از نانوسیم در میدان مغناطیسی*

مقاله پژوهشی

علی کوچی^(۱)مسعود گوهری منش^(۲)محمد رضا قریب^(۳)

چکیده کاربرد گسترده نانوایرکها در صنایع پیشرفته و اهداف پزشکی منجر به شرایط کاری جدیدی برای این گونه ابزارها از جمله قرارگرفتن در میدان مغناطیسی خارجی شده است. در این مقاله، رفتار ناپایداری الکترومغناطیسی ایرکهای ساخته شده با نانوسیم که تحت تأثیر یک میدان مغناطیسی طولی قرار گرفته اند، شبیه سازی شده است. با توجه به اهمیت وابستگی به اندازه در ابعاد بسیار کوچک، معادله ساختاری سیستم برپایه تئوری تنش کوپل سازگار استخراج شده است. علاوه بر این، تأثیر نیروهای واندروالس و نیروی کازیمیر در مدل ارائه شده در نظر گرفته شده است. برای حل معادلات غیرخطی حاکم بر رفتار سیستم، پاسخی نیمه تحلیلی مبتنی بر روش اغتشاشات هموتوبی ارائه شده است. تأثیر پدیده های مختلف از قبیل وابستگی به اندازه، نیروی کازیمیر، نیروی واندروالس و میدان مغناطیسی بر ولتاژ ناپایداری و دامنه عملکرد ایرکهای ساخته شده با نانوسیم بررسی شده است. نتایج بیانگر تأثیر چشمگیر وجود میدان مغناطیسی بر ناپایداری کششی و دامنه عملکرد نانوایرکهاست.

واژه های کلیدی ناپایداری الکترومغناطیسی، نانوایرک، اغتشاشات هموتوبی، تئوری تنش کوپل سازگار، نیروی واندروالس، نیروی کازیمیر

مقدمه

با این حال، تاکنون تحقیقات جامعی روی تأثیرات میدان مغناطیسی بر ناپایداری کششی نانوایرکها انجام نشده است.

وقتی نانوایرکها در معرض شار مغناطیسی قرار می گیرند، یک نیروی خارجی به نام نیروی لورنتس (Lorentz) روی هر بازو اعمال می شود. این نیرو را می توان با استفاده از معادلات لورنتس شبیه سازی کرد. رفتار تیرها و صفحات تحت تأثیر میدان مغناطیسی را محققان قبلی بررسی کرده اند [7-10]. مون و پائو در آزمایشگاه کمانش کشسانی مغناطیسی یک صفحه نازک را در یک میدان مغناطیسی یکنواخت بررسی کردند [7,8]. میا و همکاران [9] یک روش اجزای محدود برای شبیه سازی کمانش کشسانی مغناطیسی یک تیر صفحه ای پیشنهاد کردند. معادله حرکت صفحات الاستیک در میدانهای الکترومغناطیسی و تحت بارهای دینامیکی در

با پیشرفت های جدید در فناوری نانو، استفاده از نانوسیمها برای ساخت سازه های بسیار کوچک مانند نانو سوئیچها، نانومحرکها، نانوسنسورها و نانوایرکها به سرعت افزایش یافته است. یک ایرک ساخته شده از نانوسیم، از ۲ سیم نانو رسانی (بازوها) و انعطاف پذیر که در بین آنها یک جداساز قرار دارد، تشکیل شده است. نانوایرکها برای جابه جایی نانو ذرات، بررسی تعامل نانو ذرات باهم و همچنین اندازه گیری خصوصیات مختلف نانومواد استفاده می شوند [1]. دامنه حرکت نانوایرک و در نتیجه ابعاد ذراتی که می توان با نانوایرک جابه جا کرد، به وسیله ولتاژ ناپایداری کششی (Pull-in) محدود می شود. از این رو، محققان پیشین تأثیر پدیده های مختلف را در دامنه تحریک پایدار و پارامترهای ناپایداری کششی نانوایرک بررسی کرده اند [1-6].

* تاریخ دریافت مقاله ۱۴۰۰/۴/۱۳ و تاریخ پذیرش آن ۱۴۰۰/۷/۱۳ می باشد.

(۱) نویسنده مسئول: استادیار، گروه مهندسی مکانیک، دانشکده فنی و مهندسی، دانشگاه تربت حیدریه، تربت حیدریه، ایران.

Email: a.koochi@torbath.ac.ir

(۲) استادیار، گروه مهندسی مکانیک، دانشکده فنی و مهندسی، دانشگاه تربت حیدریه، تربت حیدریه، ایران.

(۳) استادیار، گروه مهندسی مکانیک، دانشکده فنی و مهندسی، دانشگاه تربت حیدریه، تربت حیدریه، ایران.

بررسی شده است. پایداری نانوحسگرها تحت اثر میدان مغناطیسی خارجی را کوچی و همکاران مطالعه کردند [24]. در مرجع [25] مدلی با استفاده از تئوری الاستیسیته غیرمحلی برپایه تنش رفتار نانولوله‌های ترکیبی در حضور میدان مغناطیسی بررسی شده است.

همان‌طور که مشاهده شد، رفتار تیر و صفحات تحت میدان مغناطیسی را محققان بررسی کرده‌اند. باین‌حال، نقش میدان مغناطیسی اعمال‌شده در بی‌ثباتی کشش انبرک‌های ساخته‌شده از نانوسیم‌ها به‌طور جامع بررسی نشده است و کارهای تحقیقاتی بیشتر باتوجه‌به کاربردهای فراوان این سیستم‌ها موردنیاز است. در تحقیق حاضر، تأثیر یک میدان مغناطیسی طولی بر ناپایداری کششی انبرک‌های ساخته‌شده از نانوسیم‌ها با در نظر گرفتن نیروهای کازیمیر (Casimir) و واندروالس (van der Waals) بررسی شده است. علاوه بر این، تحقیقات نشان می‌دهد که وقتی طول مشخصه ابعادی یک ساختار جامد با طول بین‌اتمی آن قابل مقایسه باشد، تئوری‌های کلاسیک قادر به پیش‌بینی رفتار سیستم نیستند. در نتیجه برخی نظریه‌های پیشرفته الاستیسیته از قبیل تئوری تنش‌کوپل [26]، نظریه تنش‌کوپل اصلاح‌شده [27]، نظریه الاستیسیته غیرمحلی [28]، تئوری گرادیان کرنش [29] و نظریه تنش‌کوپل سازگار (consistent couple stress theory) ارائه‌شده است [30]. در بین این نظریه‌ها، تئوری تنش‌کوپل سازگار فقط یک پارامتر اضافه برای مدل‌سازی وابستگی به اندازه دارد و جابه‌جایی و چرخش سینماتیکی پیوسته واقعی را در نظر می‌گیرد. در نتیجه در پژوهش حاضر، برای شبیه‌سازی وابستگی به اندازه مواد، معادلات حرکتی نانوانبرک در چارچوب تئوری تنش‌کوپل سازگار استخراج شده است. همچنین، یک پاسخ نیمه‌تحلیلی مبتنی بر روش اغتشاش هموتویی برای بررسی پارامترهای ناپایداری کششی نانوانبرک ارائه شده است.

مرجع [10] به‌طور کامل استخراج شده است. لی [11] رفتار پایداری دینامیکی یک نوار مسطح نازک را در میدان مغناطیسی مطالعه کرد. وی همچنین اثر بی‌ثبات‌کننده ناشی از میرایی مغناطیسی را در نظر گرفت. معادلات حرکت تیرهای الاستیک تحت بار محوری و میدان مغناطیسی عرضی نوسانی [12] و همچنین صفحات رسانای الکترومغناطیسی تحت یک میدان مغناطیسی خارجی [13] به‌وسیله محققان استخراج شده است. تأثیرات میدان‌های مغناطیسی عرضی و بارهای حرارتی روی ارتعاشات گذرای یک تیر بین‌شده در مرجع [14] مطالعه شده است. ارتعاشات اجباری غیرخطی یک تیر همراه با یک جرم متمرکز در لبه تیر که یک نیروی الکترومغناطیسی متناوب روی آن تأثیر می‌گذارد، در مرجع [15] بررسی شده است. لیو و چانگ تأثیر میدان مغناطیسی محوری و عرضی متناوب را بر رفتار دینامیکی تیر کشسان مغناطیسی (magneto-elastic) بررسی کردند [16]. کیانی ارتعاشات یک نانوسیم رسانا را تحت شوک مغناطیسی محوری که به‌صورت یک ماتریس الاستیک در نظر گرفته شده است، براساس تئوری پیوستگی غیرمحلی مطالعه کرد [17]. وی همچنین برای بررسی رفتار دینامیکی یک نانوسیم، تحت میدان مغناطیسی، یک مدل کشسان حرارتی مغناطیسی غیرمحلی ارائه داده است [18]. نارندار و همکاران برای بررسی تأثیر میدان مغناطیسی بر ویژگی‌های امواج در نانولوله‌های کربنی تک‌جداره مستقر در یک پایه پاسترناک (Pasternak)، از تئوری غیرمحلی تیر اوپلر-برنولی استفاده کردند [19]. در [20] یک مدل اجزای محدود برای بررسی محدوده عملکرد پایدار نانوانبرک مخروطی ساخته‌شده از مواد تابعی در حضور میدان مغناطیسی ارائه شده است. براتی و همکاران نیز رفتار پیچشی نانولوله‌های ساخته‌شده از مواد تابعی را تحت اثر میدان مغناطیسی خارجی بررسی کردند [21]. رفتار دینامیکی سنسورهای ساخته‌شده از نانولوله‌های کربنی تحت میدان مغناطیسی و حرارتی در مراجع [22,23]

معادلات ساختاری

و مغناطیسی، نیروی الکترومغناطیسی وارد بر جسمی به حجم Ω برابر می شود با [32]

$$F_{EM} = \int_{\Omega} \rho E d\tau + \int_s \sigma E_s dS + \int_{\Omega} (J \times B) d\tau + \int_s M \cdot \nabla H d\tau \quad (5)$$

در معادله فوق σ چگالی بار سطحی است و E_s میدان الکتریکی در سطح جسم را نشان می دهد. همچنین M بردار مغناطش (magnetization) است. قانون اهم و معادلات مشخصه برای مواد خطی مغناطیسی و خطی الکتریکی عبارت اند از [32]:

$$J = \lambda(E + \frac{\partial u}{\partial t} \times B) \quad (6)$$

$$\phi = \epsilon E \quad (7)$$

$$B = \omega H \quad (8)$$

که در رابطه فوق λ رسانایی الکتریکی، ϵ ثابت گذردهی الکتریکی (Electrical conductivity)، u بردار جابه جای و ω ضریب نفوذپذیری (Permeability) مغناطیسی است. با صرف نظر از چگالی جریان جابه جایی و مشتق آن نسبت به زمان و $\nabla \phi = 0$ ، برای یک جسم رسانا نتیجه می شود [32]:

$$F_{EM} = \int_s \sigma E_s dS + \int_{\Omega} (J \times B) d\tau \quad (9)$$

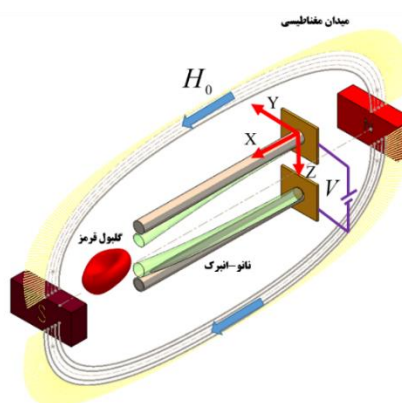
میدان مغناطیسی وارد بر نانوانبرک را به شکل زیر در نظر می گیریم:

$$H = H_0 + h \quad (10)$$

$$E = E_0 + e \quad (11)$$

که در روابط فوق h و e به ترتیب بیانگر اغتشاش های (Perturbations) کوچکی در مقادیر اولیه میدان مغناطیسی (H_0) و الکتریکی (E_0) هستند. مقدار اولیه میدان الکتریکی در نانوانبرک برابر با صفر است ($E_0=0$). علاوه بر این، اغتشاشات میدان مغناطیسی در مقابل

نمای شماتیک یک نانوانبرک در شکل (۱) نشان داده شده است. این انبرک از آنوسیم رسانای کاملاً مشابه به طول L با سطح مقطع دایره به شعاع R تشکیل شده است. فاصله اولیه ۲ بازوی نانوانبرک D در نظر گرفته شده است.



شکل ۱ نمای شماتیک نانوانبرک

مدل سازی اثر میدان الکترومغناطیسی. اثر میدان مغناطیسی بر رفتار نانوانبرک را می توان در چارچوب نظریه الکترودینامیک ماکسول و تئوری اجسام رسانا (قانون اهم) مدل سازی کرد. معادلات نظریه الکترودینامیک ماکسول برای یک جسم رسانا را می توان به شکل زیر بیان کرد [31]:

$$\nabla \times H = \frac{\partial \phi}{\partial t} + J \quad (1)$$

$$\nabla \times E = -\frac{\partial B}{\partial t} \quad (2)$$

$$\nabla \phi = \rho \quad (3)$$

$$\nabla \cdot B = 0 \quad (4)$$

در روابط فوق E نشان دهنده میدان الکتریکی، H میدان مغناطیسی، J بردار چگالی جریان، B شدت میدان مغناطیسی، ϕ چگالی جریان جابه جایی، t زمان و ρ چگالی بار الکتریکی هستند. در حضور میدان الکتریکی

(dispersion) را باید در مدل‌سازی در نظر گرفت. این نیروها در ۲ محدودۀ مختلف تعریف می‌شوند. اثر نیروی بین‌ملکولی (نیروهای واندروالس) در فواصل کمتر از ۲۰ نانومتر مهم است [34]. برای فواصل بیشتر از چندده‌نانومتر اثر نیروی کازیمیر اهمیت پیدا می‌کند [35]. نیروی کازیمیر را می‌توان به‌عنوان نسخه آنالوگ دوربرد نیروی واندروالس در نظر گرفت که ناشی از نفوذ موج‌های معوق الکترومغناطیسی (Retarded electromagnetic waves) است. نیروی کازیمیر برخلاف نیروی واندروالس مستقل از خواص ماده است [36].

با استفاده از انرژی کازیمیر بین ۲ استوانه موازی، نیروی کازیمیر بر واحد طول مؤثر بر هر بازو را می‌توان از رابطه زیر محاسبه کرد [35]:

$$F_{\text{Cas}} = \frac{\hbar c \left[1 + \ln \left(\frac{D}{R} \left(1 - \frac{2W}{D} \right) \right) \right]}{4\pi(D-2W)^3 \ln^3 \left(\frac{D}{R} \left(1 - \frac{2W}{D} \right) \right)} \cdot k \quad (17)$$

در این رابطه $c=2.998 \times 10^8$ m/s سرعت نور و $\hbar=1.055 \times 10^{-34}$ Js ثابت پلانک (Planck) کاهش یافته است.

برای ۲ نانوسیم موازی نیروی واندروالس را می‌توان از رابطه زیر محاسبه کرد [5]:

$$F_{\text{vdW}} = \frac{\bar{A}\sqrt{R}}{16(D-2W)^{\frac{5}{2}}} k \quad (18)$$

که در این رابطه \bar{A} ثابت هامکر (Hamaker) است. تئوری تنش‌کوپل سازگار. تئوری تنش‌کوپل سازگار یکی از تئوری‌های غیرکلاسیک وابسته به اندازه است که برای ارضای شرایط سازگاری که در تئوری تنش‌کوپل اصلاح شده وجود دارد و حاج سفندیاری و درگوش ارائه کرده‌اند [30]. براساس این تئوری انرژی کرنشی را می‌توان به فرم زیر بیان کرد [30]:

میدان اولیه بسیار کوچک است ($h \ll H_0$) بنابراین:

$$h = \nabla \times (u \times H_0) \quad (12)$$

با استفاده از رابطه (۱۲) می‌توان رابطه مربوط به نیروی حاصل از میدان مغناطیسی در یک نانواینبرک را به شکل زیر بازنویسی کرد:

$$F_M = \int_{\Omega} (\omega \nabla \times \nabla \times (u \times H_0) \times H_0) d\tau \quad (13)$$

بازوهای نانواینبرک به صورت تیر اویلر-برنولی یک سردرگیر مدل‌سازی شده است. براساس تئوری تیر اویلر-برنولی میدان جابه‌جایی در هر نقطه در طول تیر عبارت است از:

$$u = \left(-Z \frac{\partial W}{\partial X}\right) i + (W) k \quad (14)$$

در رابطه فوق W میزان خمیدگی تار خنثی است. همچنین X نشانگر فاصله در طول تیر و Z فاصله از تار خنثی است.

با جای‌گذاری رابطه (۱۴) در معادله (۱۳) و در نظر گرفتن میدان ثابت مغناطیسی در راستای طول نانواینبرک نتیجه می‌شود:

$$F_M = \omega A (H_x^2 \frac{d^2 W}{dX^2}) k \quad (15)$$

با فرض هم‌سان بودن ۲ بازو، نیروی الکتریکی وارد بر بازوها را می‌توان از معادله زیر محاسبه کرد [33]:

$$F_E = \frac{\epsilon_0 \pi V^2}{D \left(1 - \frac{2W}{D}\right) \ln^2 \left(\frac{2D}{R} \left(1 - \frac{2W}{D}\right) \right)} k \quad (16)$$

در این رابطه $\epsilon_0=8.854 \times 10^{-12}$ c²/Nm² ثابت گذردهی خلأ، D فاصله اولیه ۲ بازو و V ولتاژ اعمالی است.

در فواصل بسیار کم اثر نیروهای پراکندگی

$$\delta U_B - \delta W_{\text{ext}} = 0 \quad (29)$$

کار نیروهای خارجی (F_{ext}) وارد بر بازوها مجموع کار نیروهای الکتریکی، پراکندگی و مغناطیسی است و از رابطه زیر قابل محاسبه است:

$$W_{\text{ext}} = \int_0^L \int_0^W F_{\text{ext}} dW dX \quad (30)$$

با جای گذاری معادلات (۲۸ و ۳۰) در معادله (۲۹)، معادله ساختاری به شکل زیر به دست می آید:

$$(EI + 4\mu A \ell^2) \frac{d^4 W}{dX^4} - \omega A H_x^2 \frac{d^2 W}{dX^2} = \frac{\pi \epsilon_0 V^2}{(D-W) \ln^2 \left(2 \frac{D-W}{R} \right)} + \left\{ \begin{array}{l} \frac{\hbar c \left[1 + \ln \left(\frac{D-2W}{D} \right) \right]}{4\pi (D-2W)^3 \ln^3 \left(\frac{D-2W}{R} \right)} \text{ Casimir} \\ \frac{\bar{A} \sqrt{R}}{16(D-2W)^{5/2}} \text{ vdW} \end{array} \right. \quad (31)$$

حل به روش اغتشاشات هموتوبی

استفاده از معادلات و پارامترهای بی بعد روشی شناخته شده در تحلیل سیستم و بررسی تأثیر پارامترهای مختلف است. به کارگیری پارامترهای بی بعد مزایای بسیاری از جمله خلاصه سازی پارامترها، جلوگیری از واحدهای ترکیبی پیچیده و مبهم و کاهش تعداد متغیر را به همراه دارد. علاوه بر این، استفاده از پارامترهای بی بعد منجر به معادلات بی بعد می شود که بینش روشن تری از پارامترهای کنترل و ماهیت مسئله را در اختیار محقق قرار می دهد. پارامتر بی بعد مکان در راستای طول نانوانبرک را به صورت نسبت فاصله از مبدأ مختصات به طول بازو ($x=X/L$) و پارامتر بی بعد جابه جایی بی بعد عرضی را به صورت نسب جابه جایی به فاصله اولیه بین بازوها ($w=W/D$) تعریف می کنیم. در نتیجه معادله (۳۱)

$$U_B = \frac{1}{2} \int_0^L \int_A (\sigma_{ij} \epsilon_{ij} + \mu_{ij} \kappa_{ij}) dA dx \quad (19)$$

در این رابطه، اعضای تانسور تنش (σ_{ij})، تانسور تنش کوپل (μ_{ij})، تانسور کرنش (ϵ_{ij}) و تانسور (κ_{ij}) از رابطه زیر محاسبه می شوند:

$$\sigma_{ij} = \lambda \epsilon_{mm} \epsilon_{ij} + 2\mu \epsilon_{ij} \quad (20)$$

$$\mu_{ij} = 8\mu \ell^2 \kappa_{ij} \quad (21)$$

$$\epsilon_{ij} = \frac{1}{2} (u_{i,j} + u_{j,i}) \quad (22)$$

$$\kappa_{ij} = \frac{1}{2} e_{jkl} u_{l,ki} \quad (23)$$

در روابط فوق λ و μ ثوابت لمه و ℓ پارامتر مقیاس طول است. با جای گذاری معادله جابه جایی در روابط فوق نتیجه می شود:

$$\sigma_{xx} = -EZ \frac{\partial^2 W}{\partial X^2}, \quad \sigma_{zz} = \sigma_{yy} = \sigma_{xy} = \sigma_{yz} = \sigma_{zx} = 0 \quad (24)$$

$$\mu_{xy} = -\mu_{yx} = 4\mu \ell^2 \frac{\partial^2 W}{\partial X^2}, \quad \mu_{xx} = \mu_{yy} = \mu_{zz} = 0, \quad \mu_{yz} = \mu_{zy} = \mu_{zx} = \mu_{xz} = 0 \quad (25)$$

$$\epsilon_{xx} = -Z \frac{\partial^2 W}{\partial X^2}, \quad \epsilon_{zz} = \epsilon_{yy} = \epsilon_{xy} = \epsilon_{yz} = \epsilon_{zx} = 0 \quad (26)$$

$$\kappa_{xy} = \kappa_{yx} = -\frac{1}{2} \frac{\partial^2 W}{\partial X^2}, \quad \kappa_{xx} = \kappa_{yy} = \kappa_{zz} = 0, \quad \kappa_{yz} = \kappa_{zy} = \kappa_{zx} = \kappa_{xz} = 0 \quad (27)$$

در نتیجه انرژی کرنشی هر بازو عبارت خواهد شد از:

$$U_B = \frac{1}{2} \int_0^L (EI + 4\mu A \ell^2) \left(\frac{\partial^2 W}{\partial X^2} \right)^2 dX \quad (28)$$

معادله ساختاری

برای استخراج معادله ساختاری از اصل همیلتون استفاده می شود. بر این اساس:

یک تبدیل محذب هموتویی عبارت است از:

$$H(w, s) = (1-s)[L(w) - L(w_0)] + s[L(w) + N(w)] \quad (37)$$

که w_0 حدس اولیه برای حل معادله (۳۶) است، همچنین $s \in [0, 1]$ پارامتر تعبیه است. همان گونه که از معادله (۳۷) مشخص است، با تغییر s از صفر تا ۱ جواب معادله مدنظر از حدس اولیه (w_0) تا جواب نهایی (w) تغییر می کند. به عنوان حدس اولیه $w_0=0$ در نظر گرفته می شود.

برای اعمال روش اغتشاشات هموتویی معادلات (۳۲-۳۴) را با در نظر گرفتن $y(x) = 1 - 2w(x)$ بازنویسی می کنیم:

$$(1+\delta) \frac{d^4 y}{dx^4} - \xi \frac{d^2 y}{dx^2} + \frac{\beta^2}{y \ln^2(2ky)} + \begin{cases} \frac{4\eta_{\text{Cas}} [1 + \ln(ky)]}{y^3 \ln^3(ky)} & \text{Casimir} \\ \frac{\eta_{\text{vdW}}}{y^{5/2}} & \text{vdW} \end{cases} = 0 \quad (38)$$

$$y(0) = 1, \quad y'(0) = 0 \quad (39)$$

$$y''(1) = 0, \quad y'''(1) = 0 \quad (40)$$

معادله فوق را به فرم سیستم معادلات دیفرانسیل زیر بازنویسی می کنیم:

$$\frac{dy}{dx} = p(x) \quad (41)$$

$$\frac{dp}{dx} = q(x) \quad (42)$$

$$\frac{dq}{dx} = r(x) \quad (43)$$

$$\frac{dr}{dx} = \frac{\xi}{1+\delta} q(x) - \frac{\beta^2}{(1+\delta)y \ln^2(2ky)} - \begin{cases} \frac{4\eta_{\text{Cas}} [1 + \ln(ky)]}{(1+\delta)y^3 \ln^3(ky)} & \text{Casimir} \\ \frac{\eta_{\text{vdW}}}{(1+\delta)y^{5/2}} & \text{vdW} \end{cases} \quad (44)$$

را با استفاده از این پارامترها به شکل زیر می توان بازنویسی کرد:

$$(1+\delta) \frac{d^4 w}{dx^4} - \xi \frac{d^2 w}{dx^2} = \frac{\beta^2}{2(1-2w) \ln^2(2k(1-2w))} + \begin{cases} \frac{2\eta_{\text{Cas}} [1 + \ln(k(1-2w))]}{(1-2w)^3 \ln^3(k(1-2w))} & \text{Casimir} \\ \frac{\eta_{\text{vdW}}}{2(1-2w)^{5/2}} & \text{vdW} \end{cases} \quad (32)$$

و شرایط مرزی بی بعد عبارت اند از:

$$w(0) = \frac{dw}{dx}(0) = 0 \quad (33)$$

$$\frac{d^2 w}{dx^2}(1) = \frac{d^3 w}{dx^3}(1) = 0 \quad (34)$$

در معادله (۳۲) پارامترهای بی بعد به صورت زیر تعریف می شوند:

$$w = \frac{W}{g}; x = \frac{X}{L}; k = \frac{D}{R}; \beta^2 = \frac{8\epsilon_0 V^2 L^4}{ER^4 D^2}; \eta_{\text{Cas}} = \frac{\hbar c L^4}{2\pi^2 D^4 R^4 E}; \eta_{\text{vdW}} = \frac{\bar{A} \sqrt{R} L^4}{2\pi R^4 E D^2}; \delta = \frac{16\mu \ell^2}{R^2 E}; \xi = \frac{4\delta H_x^2 L^2}{ER^2} \quad (35)$$

معادله (۳۲) یک معادله دیفرانسیل غیرخطی است و حل دقیقی برای آن وجود ندارد. در نتیجه برای به دست آوردن یک حل نیمه تحلیلی برای این معادله از روش اغتشاشات هموتویی استفاده می کنیم.

اصول و مبانی روش اغتشاشات هموتویی در مرجع [37] ذکر شده است. در روش اغتشاشات هموتویی معادله دیفرانسیل را متشکل از ۲ قسمت خطی و غیرخطی تبدیل در نظر می گیریم:

$$L(w) + N(w) = 0 \quad (36)$$

$$\begin{aligned}
 w(x) = & -A \frac{x^2}{4} - B \frac{x^3}{12} \\
 & + \left(\frac{\beta^2}{\ln^2 2k} + \frac{4\eta_{Cas}}{\ln^2 k} + \frac{4\eta_{Cas}}{\ln^3 k} \right) \frac{x^4}{48(1+\delta)} \\
 & - \frac{A}{48(1+\delta)} x^4 - \frac{1}{240(1+\delta)} B \xi x^5 \\
 & + \frac{A}{1440(1+\delta)} \left(\frac{\beta^2}{\ln^2 2k} + \frac{2\beta^2}{\ln^3 2k} \right) x^6 \\
 & + \frac{A\eta_{Cas}}{360(1+\delta)} \left(\frac{3}{\ln^2 k} + \frac{5}{\ln^3 k} + \frac{3}{\ln^4 k} \right) x^6 \\
 & + \frac{\xi}{1440(1+\delta)^2} \left(\frac{4\eta_{Cas}}{\ln^2 k} + \frac{4\eta_{Cas}}{\ln^3 k} \right) x^6 \\
 & + \frac{\xi}{1440(1+\delta)^2} \left(\frac{\beta^2}{\ln^2 2k} + \xi A \right) x^6 + \dots \quad (51)
 \end{aligned}$$

$$\begin{aligned}
 w(x) = & -A \frac{x^2}{4} - B \frac{x^3}{12} \\
 & + \frac{\left(\frac{\beta^2}{\ln^2(2k)} + \eta_{vdw} - A \right)}{48(1+\delta)} x^4 \\
 & - \frac{1}{240(1+\delta)} B \xi x^5 \\
 & + \frac{\beta^2 (A \ln(2k) + 2A)}{1440(1+\delta) \ln^3(2k)} x^6 \\
 & + \frac{\eta_{vdw} (\xi + 2.5A)}{1440(1+\delta)} x^6 \\
 & + \frac{\left(\frac{\beta^2}{\ln^2(2k)} + \xi A \right) \xi}{1440(1+\delta)^2} x^6 + \dots \quad (52)
 \end{aligned}$$

پارامترهای A و B را می توان با اعمال شرایط مرزی

$$\left(\frac{d^2 y}{dx^2}(1) = \frac{d^3 y}{dx^3}(1) = 0 \right) \text{ در انتهای آزاد بازوها محاسبه کرد.}$$

نتایج و بحث در نتایج

در نبود کار جامع آزمایشگاهی و تحلیل روی رفتار ناپایداری نانواینبرک های ساخته شده از نانوسیم غوطه ور در میدان مغناطیسی، نتایج مدل و پاسخ نیمه تحلیل ارائه شده در حالت خاص (بدون میدان مغناطیسی) با نتایج مرجع [38] مقایسه شده اند. ناپایداری کششی نانواینبرک های ساخته شده از کربن با یک شکاف اولیه ۶,۹ میکرومتر، طول ۱۹,۶ میکرومتر و شعاع سیم

جواب معادله (۳۸) را به صورت زیر در نظر

می گیریم:

$$y = \sum_{i=0}^{\infty} s^i y_i \quad (45)$$

با جای گذاری معادله (۴۵) در معادلات (۴۱-۴۴)،

انتگرال گیری از معادلات حاصل و در نظر گرفتن شرایط اولیه $(y(0)=1, p(0)=0, q(0)=A, r(0)=B)$ ، نتیجه می شود:

$$\sum_{i=0}^{\infty} s^i y_i - 1 - s \int_0^x \sum_{i=0}^{\infty} s^i p_i d\tau = 0 \quad (46)$$

$$\sum_{i=0}^{\infty} s^i p_i - s \int_0^x \sum_{i=0}^{\infty} s^i q_i d\tau = 0 \quad (47)$$

$$\sum_{i=0}^{\infty} s^i q_i - A - s \int_0^x \sum_{i=0}^{\infty} s^i r_i d\tau = 0 \quad (48)$$

$$\sum_{i=0}^{\infty} s^i r_i - B \quad (49)$$

$$+ s \int_0^x \left(\sum_{i=0}^{\infty} s^i \psi_i - \xi \sum_{i=0}^{\infty} s^i q_i \right) d\tau = 0$$

که در معادله فوق:

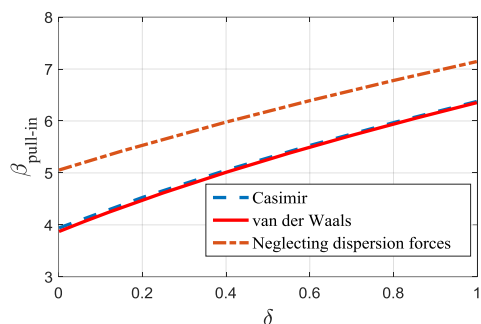
$$\psi_n = \left[\begin{aligned} & \frac{\beta^2}{(1+\delta) \left(\sum_{i=0}^{\infty} s^i y_i \right) \ln^2(2k \sum_{i=0}^{\infty} s^i y_i)} \\ & \frac{4\eta_{Cas} [1 + \ln(k \sum_{i=0}^{\infty} s^i y_i)]}{(1+\delta) \left(\sum_{i=0}^{\infty} s^i y_i \right)^3 \ln^3(k \sum_{i=0}^{\infty} s^i y_i)} \\ & \frac{\eta_{vdw}}{(1+\delta) \left(\sum_{i=0}^{\infty} s^i y_i \right)^{5/2}} \end{aligned} \right]_{s=0} \quad (50)$$

در نتیجه جابه جایی بازوهای نانواینبرک در حالت

در نظر گرفتن نیروی کازیمیر به شکل معادله (۵۱) و در

حالت نیروی واندروالس به شکل معادله (۵۲) نتیجه

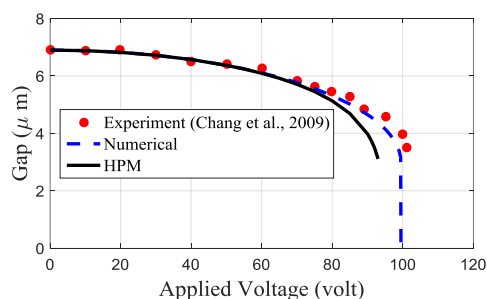
می شود:



شکل ۳ تأثیر وابستگی اندازه بر ولتاژ ناپایداری کششی نانواینبرک ناپایداری کششی نانواینبرک، ابعاد کوچک‌ترین ذراتی را که می‌توان با نانواینبرک حمل کرد، محدود می‌کند. بنابراین، پارامتر بی‌بعد $\gamma = D_{\min} / D$ را تعریف می‌کنیم. پارامتر γ نسبت قطر کوچک‌ترین ذره قابل حمل با نانواینبرک به فاصله اولیه 2γ را نشان می‌دهد. این پارامتر با محدوده عملکرد نانواینبرک رابطه معکوس دارد، به عبارتی افزایش پارامتر γ به معنی افزایش حداقل قطر قابل حمل و در نتیجه کاهش محدوده عملکرد نانواینبرک است. تأثیر پارامتر اندازه و نیروهای کازیمیر و واندروالس در حداقل قطر قابل حمل با نانواینبرک‌ها در شکل (۴) نشان داده شده است. این شکل نشان می‌دهد که افزایش پارامتر اندازه به افزایش محدوده عملکرد نانواینبرک و کاهش حداقل اندازه قابل حمل با نانواینبرک منجر می‌شود. با وجود این، پارامتر وابستگی به اندازه تأثیری در حداقل ابعاد قابل حمل در میکرواینبرک (بدون نیروهای کازیمیر و واندروالس) ندارد. باید توجه کرد که پارامتر بی‌بعد وابستگی به اندازه با توجه به معادله (۳۵) با توان دوم نسبت پارامتر مقیاس طول ماده به شعاع بازو متناسب است. شکل (۳ و ۴) نشان می‌دهد که برای نانواینبرک‌ها وابستگی اندازه باید برای ولتاژ کششی و دامنه اینبرک در نظر گرفته شود. باین‌حال، برای میکرواینبرک‌ها وابستگی به اندازه، فقط ولتاژ ناپایداری کششی را افزایش می‌دهد و دامنه حرکتی اینبرک را تحت تأثیر قرار نمی‌دهد.

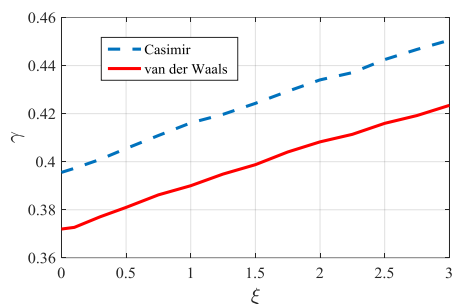
۱۵۰ نانومتر به‌طور تجربی توسط چانگ و همکاران انجام شده است. در شکل (۲) فاصله انتهای بازوهای نانواینبرک برحسب ولتاژ اعمالی از صفر تا ولتاژ ناپایداری کششی رسم شده است. معادله حاکم بر رفتار نانواینبرک به روش عددی نیز با استفاده از نرم‌افزار Maple و با استفاده از دستور dsolve حل شده است و نتایج آن در شکل (۲) نشان داده شده است. همان‌طور که مشاهده می‌شود، سازگاری بسیار خوبی بین مدل حاضر و اندازه‌گیری تجربی مشاهده می‌شود. همچنین شکل (۲) نشان می‌دهد که حل نیمه‌تحلیل ارائه شده بر پایه روش اغتشاشات هموتویی هم‌خوانی بسیار مناسبی با حل عددی دارد.

در ادامه پارامتر بی‌بعد هندسی $k=20$ و پارامترهای بی‌بعد مرتبط با نیروی کازیمیر و واندروالس برابر با 0.5 در نظر گرفته شده و اثر پارامترهای مختلف بر ولتاژ ناپایداری بی‌بعد و محدوده عملکرد نانواینبرک بررسی شده است. شکل (۳) تأثیر وابستگی به اندازه و همچنین در نظر گرفتن نیروی جاذبه کازیمیر و واندروالس بر ولتاژ کششی نانواینبرک را نشان می‌دهد. در این شکل ولتاژ ناپایداری نانواینبرک در حضور نیروی کازیمیر و واندروالس و همچنین میکرواینبرک (یعنی بدون نیروهای ذکر شده) مطالعه می‌شود. شکل (۳) نشان می‌دهد که افزایش پارامتر اندازه باعث افزایش ولتاژ کشش می‌شود. به علاوه، این شکل نشان می‌دهد که وجود نیروهای کازیمیر و واندروالس، ولتاژ کشش اینبرک‌های نانو را کاهش می‌دهد.



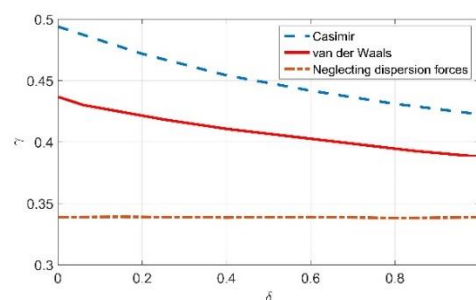
شکل ۲ فاصله انتهای بازوهای نانواینبرک برحسب ولتاژهای اعمال شده مختلف: مقایسه با نتایج آزمایشگاهی [38]

همچنین افزایش شدت میدان مغناطیسی خارجی منجر به کاهش بیشتر در محدوده عملکرد نانوایرک می شود.

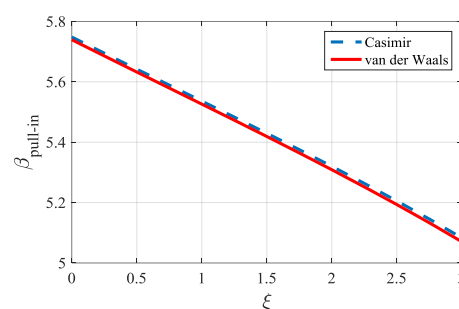


شکل ۶ تأثیر میدان مغناطیسی بر محدوده عملکرد نانوایرک

تأثیر نیروهای کازیمیر و واندروالس بر ولتاژ ناپایداری کششی و محدوده عملکرد نانوایرک به ترتیب در شکل های (۷ و ۸) نشان داده شده است. برای بررسی تأثیر میدان مغناطیسی، موارد ذکر شده برای نانوایرک مطالعه و با حضور و عدم حضور میدان مغناطیسی در این شکل ها بررسی شده است. نتایج نشان می دهد که با افزایش نیروهای کازیمیر و واندروالس، ولتاژ ناپایداری کششی کاهش می یابد. توجه داشته باشید که نقطه تقاطع منحنی ها و محور افقی با مقدار بحرانی نیروهای کازیمیر و واندروالس (η_c) مطابقت دارد. به عبارتی این نقاط تقاطع حالتی را نشان می دهد که نیروهای پراکندگی حتی بدون هیچ نیروی الکترواستاتیکی منجر به ناپایداری نانوایرک می شود. این نقاط در طراحی نانوایرک ها بسیار مهم اند و از ترکیب مقادیر بحرانی مرتبط با نیروی کازیمیر و واندروالس با تعریف ارائه شده برای این پارامترها در معادله (۳۵) می توان حداقل فاصله اولیه مجاز و حداکثر طول مجاز نانوایرک را برای طراحی محاسبه کرد.



شکل ۴ تأثیر وابستگی اندازه بر دامنه عملکرد ایرک



شکل ۵ تأثیر میدان مغناطیسی و نیروهای کازیمیر و واندروالس بر ولتاژ ناپایداری کششی نانوایرک

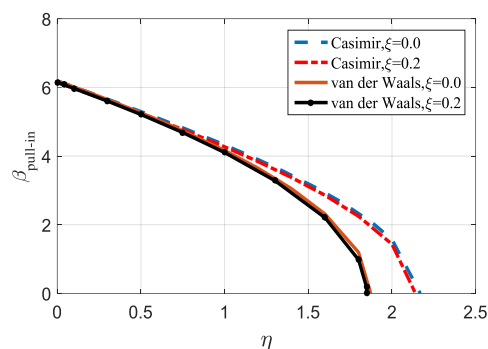
تأثیر میدان مغناطیسی بر ولتاژ ناپایداری کششی نانوایرک ها، با در نظر گرفتن نیروهای کازیمیر و واندروالس در شکل (۵) نشان داده شده است. این شکل نشان می دهد که با افزایش پارامترهای بی بعد شده نیروی مغناطیسی، ولتاژ ناپایداری کششی کاهش می یابد. به عبارت دیگر افزایش میدان مغناطیسی ولتاژ ناپایداری کششی را کاهش داده و عامل ناپایدارکننده نانوایرک است. به طور مشابه، اگر جنس بازوهای نانوایرک از نفوذپذیری مغناطیسی بیشتری برخوردار باشد، ولتاژ ناپایداری کششی آن به دلیل میدان مغناطیسی به میزان چشمگیری کم می شود.

شکل (۶) تأثیر میدان مغناطیسی بر محدوده عملکرد نانوایرک را نشان می دهد. نتایج ارائه شده در این شکل بیانگر این است که حضور میدان مغناطیسی خارجی می تواند منجر به کاهش محدوده عملکرد نانوایرک شود.

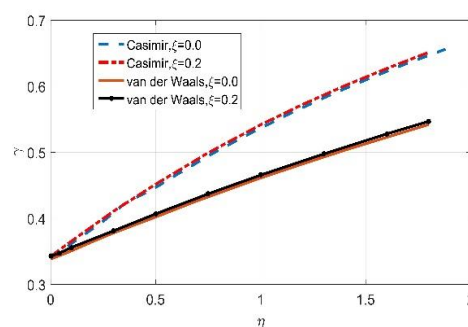
نتایج نشان می‌دهد که وابستگی به اندازه اثر سخت‌کننده دارد و ولتاژ ناپایداری را افزایش می‌دهد. درباره نانوایرک‌ها اثر وابستگی به اندازه منجر به افزایش محدوده عملکرد نانوایرک می‌شود، اما در حالتی که از اثر نیروهای پراکندگی صرف‌نظر شود، محدوده عملکرد نانوایرک مستقل از پارامتر بی‌بعد اثر اندازه است. با بررسی تأثیر میدان مغناطیسی در رفتار کششی نانوایرک مشخص شد که افزایش میدان مغناطیسی ولتاژ کشش ناپایداری را کاهش می‌دهد. به همین ترتیب، اگر ماده سازنده نانوایرک نفوذپذیری مغناطیسی بیشتری داشته باشد، ولتاژ ناپایداری کششی آن به دلیل میدان مغناطیسی به میزان چشمگیری کم می‌شود. همچنین حضور میدان مغناطیسی خارجی منجر به کاهش محدوده عملکرد نانوایرک می‌شود.

واژه نامه

Pull-in instability	ناپایداری کششی
Lorentz force	نیروی لورنتس
Magneto-elastic	کشسان مغناطیسی
Pasternak foundation	پایه پاسترناک
Casimir force	نیروی کازیمی
van der Waals force	نیروی واندروالس
Consistent couple stress theory	نظریه تنش کوپل سازگار
Magnetization	مغناطش
Electrical conductivity	ثابت گذردهی
constatnt	الکتریکی
Permeability constatnt	ثابت نفوذپذیری
Perturbation	اختشاش
Dispersion forces	نیروهای پراکندگی



شکل ۷ تأثیر نیروهای پراکندگی بر ولتاژ ناپایداری کششی نانوایرک



شکل ۸ تأثیر پراکندگی بر محدوده عملکرد نانوایرک

جمع بندی

در این مقاله یک مدل ریاضی برای بررسی ناپایداری الکترومغناطیسی نانوایرک ساخته شده از نانوسیم ارائه شده است. اثر میدان مغناطیسی طولی القاشده در مدل از طریق مدل‌سازی مناسب نیروهای لورنتس در نظر گرفته شده است. برای در نظر گرفتن وابستگی به اندازه، معادله حاکم بر نانوایرک بر اساس نظریه تنش کوپل سازگار به دست آمده است. علاوه بر این، تأثیر نیروهای کازیمی و واندروالس در معادله نهایی در نظر گرفته می‌شود. برای حل معادله غیرخطی حاکم بر تغییر شکل نانوایرک، یک پاسخ نیمه تحلیلی بر پایه روش اختشاشات هموتوپی ارائه شده است. نتایج با حل عددی و همچنین نتایج تست‌های آزمایشگاهی موجود مقایسه شده است.

Planck constant	ثابت پلانک	Retarded electromagnetic	موج های معوق
Hamaker constant	ثابت هامکر	waves	الکترومغناطیسی

مراجع

1. Farrokhhabadi, A., Rach, R., and Abadyan, M., "Modeling the static response and pull-in instability of CNT nanotweezers under the Coulomb and van der Waals attractions", *Physica E: Low-dimensional Systems and Nanostructures*, Vol. 53, pp. 137-145, (2013).
2. Wang, G. W., Zhang, Y., Zhao, Y. P., and Yang, G.-T., "Pull-in instability study of carbon nanotube tweezers under the influence of van der Waals forces", *Journal of Micromechanics and Microengineering*, Vol. 14(8), pp. 1119, (2004).
3. Farrokhhabadi, A., Koochi, A., Kazemi, A., and Abadyan, M., "Effects of size-dependent elasticity on stability of nanotweezers", *Applied Mathematics and Mechanics*, Vol. 35(12), pp. 1573-1590, (2014).
4. Ramezani, A., "Stability analysis of electrostatic nanotweezers", *Physica E: Low-dimensional Systems and Nanostructures*, Vol. 43(10), pp. 1783-1791, (2011).
5. Keivani, M., Koochi, A., Sedighi, H. M., Abadyan, M., Farrokhhabadi, A., and Shahedin, A. M., "Effect of surface layer on electromechanical stability of tweezers and cantilevers fabricated from conductive cylindrical nanowires", *Surface Review and Letters*, Vol. 23(02), pp. 1550101, (2016).
6. Koochi, A., Hosseini-Toudeshky, H., and Abadyan, M., "A modified model for stability analysis of narrow-width NEMS tweezers: Corrections due to surface layer, scale dependency and force distributions", *ScientiaIranica*, Vol. 24(2), pp. 673-683, (2017).
7. Moon, F. and Pao, Y.H., "Magnetoelastic buckling of a thin plate", *Journal of Applied Mechanics*, Vol. 35(1), pp. 53-58, (1968).
8. Moon, F. and Pao, Y. H., "Vibration and dynamic instability of a beam-plate in a transverse magnetic field", *Journal of Applied Mechanics*, Vol. 36(1), pp. 92-100, (1969).
9. Miya, K., Takagi, T., and Ando, Y., "Finite-element analysis of magnetoelastic buckling of ferromagnetic beam plate", *Journal of Applied Mechanics*, Vol. 47(2), pp. 377-382, (1980).
10. Eringen, A. C., "Theory of electromagnetic elastic plates", *International Journal of Engineering Science*, Vol. 27(4), pp. 363-375, (1989).
11. Lee, J. S., "Destabilizing effect of magnetic damping in plate strip", *Journal of Engineering Mechanics*, Vol. 118(1), pp. 161-173, (1992).

12. Shih, Y. S., Wu, G. Y., and Chen, E. J., "Transient Vibrations of a Simply-Supported Beam with Axial Loads and Transverse Magnetic Fields", *Journal of Structural Mechanics*, Vol. 26(2), pp. 115-130, (1998).
13. Librescu, L., Hasanyan, D., and Ambur, D. R., "Electromagnetically conducting elastic plates in a magnetic field: modeling and dynamic implications", *International Journal of Non-Linear Mechanics*, Vol. 39(5), pp. 723-739, (2004).
14. Wu, G., "The analysis of dynamic instability and vibration motions of a pinned beam with transverse magnetic fields and thermal loads", *Journal of Sound and Vibration*, Vol. 284(1-2), pp. 343-360, (2005).
15. Kojima, H., Nagaya, K., Shiraishi, H., and Yamashita, A., "Nonlinear vibrations of a beam with a mass subjected to alternating electromagnetic force", *Bulletin of JSME*, Vol. 28(237), pp. 468-474, (1985).
16. Liu, M. F. and Chang, T. P., "Vibration analysis of a magneto-elastic beam with general boundary conditions subjected to axial load and external force", *Journal of Sound and Vibration*, Vol. 288(1-2), pp. 399-411, (2005).
17. Kiani, K., "Magneto-elasto-dynamic analysis of an elastically confined conducting nanowire due to an axial magnetic shock", *Physics Letters A*, Vol. 376(20), pp. 1679-1685, (2012).
18. Kiani, K., "Magneto-thermo-elastic fields caused by an unsteady longitudinal magnetic field in a conducting nanowire accounting for eddy-current loss", *Materials Chemistry and Physics*, Vol. 136(2-3), pp. 589-598, (2012).
19. Narendar, S., Gupta, S., and Gopalakrishnan, S., "Wave propagation in single-walled carbon nanotube under longitudinal magnetic field using nonlocal Euler-Bernoulli beam theory", *Applied Mathematical Modelling*, Vol. 36(9), pp. 4529-4538, (2012).
20. Yaghoobi, M. and Koochi, A., "Electromagnetic instability analysis of functionally graded tapered nano-tweezers", *Physica Scripta*, Vol. 96(8), pp. 085701, (2021).
21. Barati, A., Adeli, M.M., and Hadi, A., "Static torsion of bi-directional functionally graded microtube based on the couple stress theory under magnetic field", *International Journal of Applied Mechanics*, Vol. 12(2), pp. 2050021, (2020).
22. Ghaffari, S. and Abdelkefi, A., "Thermoelastic modeling and comparative analysis of biomass sensors under rippling deformation and magnetic field", *Applied Mathematical Modelling*, Vol. 92, pp. 196-222, (2021).
23. Sedighi, H. M., Malikan, M., Valipour, A., and Żur, K. K., "Nonlocal vibration of carbon/boron-nitride

- nano-hetero-structure in thermal and magnetic fields by means of nonlinear finite element method", *Journal of Computational Design and Engineering*, Vol. 7(5), pp. 591-602, (2020).
24. Koochi, A., Abadyan, M., and Gholami, S., "Electromagnetic instability analysis of nano-sensor", *The European Physical Journal Plus*, Vol. 136(1), pp. 1-12, (2021).
25. Sedighi, H. M., Ouakad, H.M., Dimitri, R., and Tornabene, F., "Stress-driven nonlocal elasticity for the instability analysis of fluid-conveying C-BN hybrid-nanotube in a magneto-thermal environment", *Physica Scripta*, Vol. 95(6), p. 065204, (2020).
26. Ejike, U. B., "The plane circular crack problem in the linearized couple-stress theory", *International Journal of Engineering Science*, Vol. 7(9), pp. 947-961, (1969).
27. Yang, F., Chong, A., Lam, D. C. C., and Tong, P., "Couple stress based strain gradient theory for elasticity", *International Journal of Solids and Structures*, Vol. 39(10), pp. 2731-2743, (2002).
28. Eringen, A.C. and Edelen, D., "On nonlocal elasticity", *International Journal of Engineering Science*, Vol. 10(3), pp. 233-248, (1972).
29. Lam, D.C., Yang, F., Chong, A., Wang, J., and Tong, P., "Experiments and theory in strain gradient elasticity", *Journal of the Mechanics and Physics of Solids*, Vol. 51(8), pp. 1477-1508, (2003).
30. Hadjesfandiari, A. R. and Dargush, G. F., "Couple stress theory for solids", *International Journal of Solids and Structures*, Vol. 48(18), pp. 2496-2510, (2011).
31. Kiani, K., "Vibration and instability of a single-walled carbon nanotube in a three-dimensional magnetic field", *Journal of Physics and Chemistry of Solids*, Vol. 75(1), pp. 15-22, (2014).
32. Hasanyan, D.J., Librescu, L., and Ambur, R.D., "Buckling and postbuckling of magnetoelastic flat plates carrying an electric current", *International Journal of Solids and Structures*, Vol. 43, pp. 4971-4996, (2006).
33. Hayt J., W. H., Buck, J.A., and Akhtar, M. J., "Engineering Electromagnetics", McGraw-Hill Education, (2020).
34. Boström, M. and Sernelius, B. E., "Fractional van der Waals interaction between thin metallic films", *Physical Review B*, Vol. 61(3), pp. 2204, (2000).
35. Klimchitskaya, G., Mohideen, U., and Mostepanenko, V., "Casimir and van der Waals forces between two plates or a sphere (lens) above a plate made of real metals", *Physical Review A*, Vol. 61(6), pp. 062107, (2000).
36. Zhao, Y. P., Wang, L., and Yu, T., "Mechanics of adhesion in MEMS—a review", *Journal of Adhesion Science and Technology*, Vol. 17(4), pp. 519-546, (2003).

37. He, J. H., "Homotopy perturbation technique", *Computer Methods in Applied Mechanics and Engineering*, Vol. 178(3-4), pp. 257-262, (1999).
38. Chang, J., Min, B.K., Kim, J., Lee, S.J., and Lin, L., "Electrostatically actuated carbon nanowire nanotweezers", *Smart Materials and Structures*, Vol. 18(6), pp. 065017, (2009).

Stability Analysis of Nano-Wire Made Tweezers in Magnetic Flux

Ali Koochi¹ Masoud Goharimanesh²
 Mohammad Reza Gharib³

1. Introduction

With the new development in nanotechnology, the use of nano-wires for manufacturing ultra-small structures such as nano-switches, nano actuators, nano-sensors, and nano-tweezers has increased rapidly. Nano-wire manufactured tweezers are composed of two cantilever conductive nano-wires (arms) with a small separation in between, utilized to manipulate nanoelements, investigate nanoparticle interaction, and measure the characteristics of nanomaterials. The pull-in voltage of nano-tweezers limits the tweezing range and hence the size of the objects, which can be manipulated by the nano-tweezers. Therefore, previous researches have examined the influence of different phenomena on the stable actuating range and the pull-in instability parameters of nano-tweezers. However, the impacts of the magnetic field on the pull-in instability of nano-tweezers have not been investigated yet.

The present work investigates the influence of a longitudinally magnetic field on the pull-in instability of nano-wire-based tweezers by considering the Casimir and van der Waals attraction. To simulate the size dependency of materials, the equations of motion of the nano-tweezers are constructed within the framework of the consistent couple stress theory (C-CST). A semi-analytical solution based on the Homotopy Perturbation Method (HPM) is developed to investigate the pull-in parameters. The obtained results are validated by comparing with the numerical solution as well as those available in the literature.

2. Modeling

A schematic view of nano-tweezers is shown in Figure 1. These nano-tweezers consist of two perfectly conducting nano-wires of length L with a circular cross-section of radius R . The initial distance between the two arms of nano-tweezers is D .

Each arm of nano-tweezers is modeled as a cantilever beam. It is subjected to a uniform static

magnetic field. Using the consistent couple stress theory and governing the strain energy of bulk (U_B), the bending strain energy is derived after some elaboration and integration over the beam volume (1).

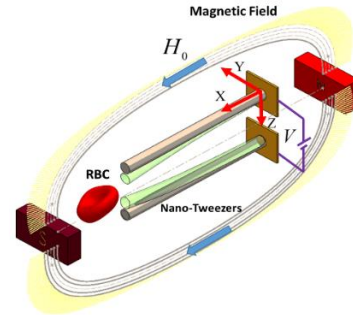


Figure 1. Schematic view of nano-tweezers

$$U_B = \frac{1}{2} \int_0^L \left[(EI + 4\mu A l^2) \left(\frac{\partial^2 W}{\partial X^2} \right)^2 \right] dX \quad (1)$$

After some mathematical elaborations, the governing equation is obtained as:

$$(1 + \delta) \frac{d^4 w}{dx^4} - \xi \frac{d^2 w}{dx^2} = \frac{\beta^2}{2(1-2w) \ln^2(2k(1-2w))} + \begin{cases} \frac{2\eta_{\text{Cas}} [1 + \ln(k(1-2w))]}{(1-2w)^3 \ln^3(k(1-2w))} & \text{Casimir} \\ \frac{\eta_{\text{vdW}}}{2(1-2w)^{5/2}} & \text{vdW} \end{cases} \quad (2)$$

and the boundary conditions are:

$$W(0) = \frac{dW}{dX}(0) = 0$$

$$\frac{d^3 W}{dX^3}(L) = \frac{d^2 W}{dX^2}(L) = 0 \quad (3)$$

3. Simulation and Results

Equation (2) is a nonlinear differential equation, and there is no exact solution to it. Therefore, we use the Homotopy Perturbation Method (HPM) to obtain a semi-analytic solution for this equation. In the absence of comprehensive experimental

¹. Corresponding Author, Assistant Professor, Department of Mechanical Engineering, University of Torbat Heydarieh, Torbat Heydarieh, Iran. Email: a.koochi@torbath.ac.ir

². Assistant Professor, Department of Mechanical Engineering, University of Torbat Heydarieh, Torbat Heydarieh, Iran

³. Assistant Professor, Department of Mechanical Engineering, University of Torbat Heydarieh, Torbat Heydarieh, Iran

work and analysis on the instability behavior of nano-tweezers made of immersed nano-wires in a magnetic field, the model's results in a particular case (without magnetic field) are compared and finally confirmed.

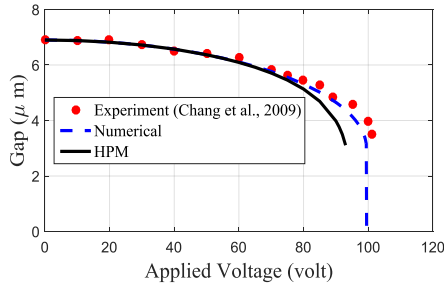


Figure 2. The distance of the tip of nano-tweezers in terms of different applied voltages: comparison with experimental results

Continuing the simulation, Figure 3 shows that increasing the size parameter surges the pull-in voltage. In addition, this figure shows that Casimir and van der Waals forces reduce the pull-in voltage of nano-tweezers.

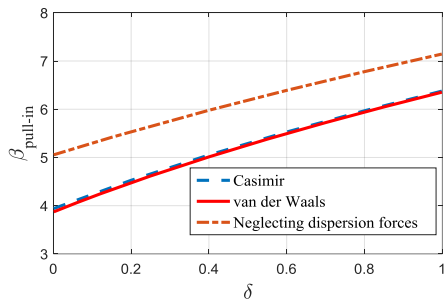


Figure 3. The effect of size dependence on the pull-in voltage of nano-tweezers

Figure 4 shows the effect of a magnetic field on the performance range of nano-tweezers. The results presented in this figure indicate that an external magnetic field can reduce the performance range of nano-tweezers. Also, increasing the intensity of the external magnetic field leads to a further decrease in the performance range of nano-tweezers.

The parameter γ in Figure 4 shows the ratio of the diameter of the smallest particle manipulated by the nano-tweezers to the initial distance between the two arms. This parameter is inversely related to the performance range of nano-tweezers.

Figure 5 shows the effect of Casimir and van der Waals forces on pull-in voltage. The results show that with increasing Casimir and van der Waals forces, the pull-in voltage decreases.

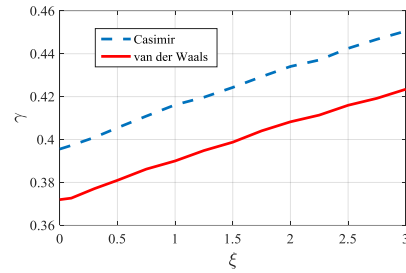


Figure 4. The effect of magnetic field on the performance range of nano-tweezers

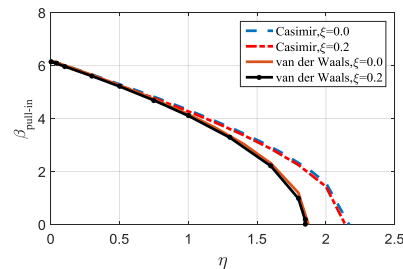


Figure 5. The effect of dispersion forces on the pull-in voltage of nano-tweezers

4. Conclusion

This study presents a mathematical model for investigating the electromagnetic instability of nano-tweezers made of nano-wire. The effect of the induced longitudinal magnetic field in the model is considered through proper modeling of Lorentz's body force. The governing equation of nano-tweezers is obtained based on the consistent couple stress theory to consider the size dependence.

In addition, the effect of the Casimir and van der Waals forces on the final equation is considered. A semi-analytical response based on the Homotopy perturbation method (HPM) is presented to solve the nonlinear equation governing nano-tweezers deformation. The results are compared with the numerical solution as well as the results of existing experimental tests. The outcomes show that the size dependency has a hardening effect and increases the instability voltage. Regarding nano-tweezers, the effect of size dependence leads to an increase in the performance range of nano-tweezers, but in the case of ignoring the effect of dispersion forces (i.e., Casimir and vdW force), the performance range of nano-tweezers is independent of the dimensionless parameter of the size effect.

Examining the influence of the magnetic field on the pull-in behavior of nano-tweezers revealed that an increase in the magnetic field decreases the pull-in voltage. Similarly, if the nano-tweezers have higher permeability, their pull-in voltage reduces significantly due to the magnetic field.